

底面剪断力におよぼす底面曲率の影響について

徳島大学 正員 湯浅博明

1 概説 流水の河床面に働く剪断力を求める場合、河床面の横断方向の勾配がゆるやかに変化しているときは、水面に直角な方向に測つた深さを水深として求める。しかし横断勾配が急に成つてくると底面に直角に測つた深さを水深としがよい - P合理的であると考えられる。とくに自由表面を有する管の中の流水のような場合では水深をどのようにとるのかよいかはつきりしない。また等速度線が既知の場合には等速直線に直角に測つた深さを水深とする方法も考えられるが、不規則な断面における速度分布の一般的な表示が十分明らかでないため理論的な解析はかなり困難である。ここでは放物線断面、円形断面などのような曲線断面において底面曲率と底面剪断力との関係を理論的に求め、さらに放物断面、および矩形断面の2種の水路について実験を行ない、底面曲率が剪断力にどのような影響を及ぼすのかについて調べた結果を比較検討したもののである。また等速度線からのポラントンの混合距離の理論を用いて底面曲率の影響を考慮した流速分布に関する近似式と等速、曲率が無限大の特殊な場合についての底面曲率を種々変化させたときの実験結果を比較検討を行ない、底面曲率の影響をいかに考察したものである。

2 底面剪断力について 同様に示すように流水の中を任意断面を考へ、流水の方向に底面にそつて x_1 、それに直角に横断方向に底面にそつて x_2 、底面に直角な方向に x_3 軸をもつ直交座標系を考へ、また u_1, u_2, u_3 とそれぞれ x_1, x_2, x_3 軸方向の速度とする。底面工の任意点において、 dx_1, dx_2, dx_3 で圍まれた微小部分をとり、またこの点における曲率を K_1, K_2, K_3 とすれば微小面の各辺の長さは同様の表わされる。今この微小面を考へ、剪断力は上下面のみに働かす、側面に働かすものとは定し、下面に働く剪断力を $\tau_{x_2 x_1} = \mu \frac{\partial u_1}{\partial x_2} - \rho \overline{u_1' u_2'}$ とすれば上面に働く剪断力は $\tau_{x_2 x_1} + \delta \tau_{x_2 x_1} = \tau_{x_2 x_1} + \frac{d\tau_{x_2 x_1}}{dx_2} dx_2 = \mu \frac{\partial u_1}{\partial x_2} - \rho \overline{u_1' u_2'} + \frac{d}{dx_2} \left[\mu \frac{\partial u_1}{\partial x_2} - \rho \overline{u_1' u_2'} \right] dx_2$ となる。ここで u_1, u_2, u_3 のそれぞれ x_1, x_2, x_3 軸方向の変動流速、 ρ は水の密度、 μ は粘性係数である。また流水の定常状態を考へ、この微小面を考へる点の流水の方向の成分は $\rho g \sin \theta$ であるから運動方程式は

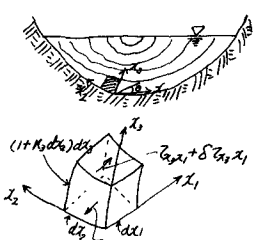
$$(1 + K_2 dx_2) dx_1 dx_2 \left\{ \mu \frac{\partial u_1}{\partial x_2} - \rho \overline{u_1' u_2'} + \frac{d}{dx_2} \left[\mu \frac{\partial u_1}{\partial x_2} - \rho \overline{u_1' u_2'} \right] dx_2 \right\} - dx_2 dx_3 \left(\mu \frac{\partial u_1}{\partial x_2} - \rho \overline{u_1' u_2'} \right) = \frac{(1 + K_2 dx_2) dx_2 + dx_2}{2} dx_1 (-\rho g \sin \theta)$$

となり dx_2 の二微分項を省略すれば

$$\frac{d}{dx_2} \left(\mu \frac{\partial u_1}{\partial x_2} - \rho \overline{u_1' u_2'} \right) + K_2 \left(\mu \frac{\partial u_1}{\partial x_2} - \rho \overline{u_1' u_2'} \right) = -\rho g \sin \theta \quad (1)$$

この方程式の各定数、ポラントンの混合距離の考えを用いたものは

$|u_1| = l \frac{\partial u_1}{\partial x_2}$, $|u_1| \sim |u_2| \sim |u_3|$ となるから $\tau = \rho \overline{u_1' u_2'} = \frac{\rho}{2} l^2 \frac{\partial^2 \bar{u}_1}{\partial x_2^2}$ となり式(1)に代入すれば $\frac{d}{dx_2} \left[\bar{u}_1 + \frac{\rho}{2} l^2 \left(\frac{\partial \bar{u}_1}{\partial x_2} \right)^2 \right] + K_2 \left[\bar{u}_1 + \frac{\rho}{2} l^2 \left(\frac{\partial \bar{u}_1}{\partial x_2} \right)^2 \right] = -\rho g \sin \theta$ となる。ここで $p = \bar{u}_1 + \frac{\rho}{2} l^2 \left(\frac{\partial \bar{u}_1}{\partial x_2} \right)^2$ とおくと $\frac{dp}{dx_2} + K_2 p + \rho g \sin \theta = 0$ となり、移項して変形し底面の5任意水深 x_2 の2積分すれば $\int \frac{dp}{\frac{dp}{p} + K_2} + p = \int -\rho g \sin \theta dx_2$ 中より $\log(p + d) = -K_2 x_2 + C$ となり、積分定数 C は底面 $x_2 = 0$ 時 $p = p_0 = [\bar{u}_1]_0 - [\rho \overline{u_1' u_2'}]_0 = [\bar{u}_1]_0$ であるから $C = \log(p_0 + d)$, $\therefore p + d = (p_0 + d) e^{-K_2 x_2}$ である。また $x_2 = H_2$ (水面) 時 $p = p_2 = [\bar{u}_1]_{H_2} - [\rho \overline{u_1' u_2'}]_{H_2} = 0$ であるからこの式は $\log \left(1 + \frac{p}{p_0} \right) = -K_2 H_2$ となり剪断力 τ は $\tau = p_0 - d \left(e^{-K_2 H_2} - 1 \right) = \frac{\rho g \sin \theta}{K_2} \left(1 + \frac{K_2 H_2}{2} + \frac{K_2^2 H_2^2}{6} + \frac{K_2^3 H_2^3}{24} + \dots - 1 \right) = \rho g \sin \theta \sum_{n=1}^{\infty} \frac{K_2^{n-1} H_2^n}{n!}$ 1 であるから全断面にわたる剪断力 T は $T = \int_S \tau dx_2 = \rho g \sin \theta \int_S \sum_{n=1}^{\infty} \frac{K_2^{n-1}}{n!} H_2^n dx_2 = \rho g \sin \theta \sum_{n=1}^{\infty} \frac{K_2^{n-1}}{n!} \int_S H_2^n dx_2 = \rho g \sin \theta \sum_{n=1}^{\infty} \frac{K_2^{n-1}}{n!} I_n$ となる。ここで I_n は n 階の断面二次モーメントを意味する。



近似的に $\tau = \rho g \sin \theta \int_0^{x_2} (H_2 + \frac{x_2}{2} H_2' + \frac{x_2^2}{2} H_2'') dx_2$ とし、曲率の影響を考慮した場合の剪断力が求められる。

3. 流速分布について 我々が日常取り扱小管路の流れとか、河川その他水路の流れはすべて乱流であつて、流れの様相が複雑なため、流の場合のように一般に理論的な取扱ができない。また自由表面の存在、水路壁による摩擦、水路断面形の影響などによって流速分布も異なってくる。ここでは横断方向の曲率による影響を見るためにつぎのように考えた。いま前出の式 $\int_0^{x_2} \frac{dp}{\rho g \sin \theta} + p = \int_0^{x_1} -K_2 dx_2$ の積分において $p_0 = [P]_{x_2=0}$ とすれば $\log \frac{p_0+d}{p+d} = K_2 x_2 \therefore (p+d) = (p_0+d) e^{-K_2 x_2}$ 此れに $p = \bar{u}_{x_2} \rho u_*' = \mu \frac{d\bar{u}_2}{dx_2} + \rho l^2 (\frac{d\bar{u}_2}{dx_2})^2$ を代入すれば $\mu \frac{d\bar{u}_2}{dx_2} + \rho l^2 (\frac{d\bar{u}_2}{dx_2})^2 + d = (p_0+d) e^{-K_2 x_2} \therefore \frac{d\bar{u}_2}{dx_2} = -\frac{\nu}{2l^2} \pm \sqrt{(\frac{\nu}{2l^2})^2 + \frac{\rho}{\mu} (p_0+d) e^{-K_2 x_2}}$ 粘性の項を無視し $\frac{d\bar{u}_2}{dx_2} > 0$ と考えれば $\frac{d\bar{u}_2}{dx_2} = \frac{1}{l} \sqrt{\frac{p_0}{\rho}} e^{-\frac{K_2 x_2}{2}}$ 一般に $K_2 x_2 \ll 1$ であるから $\frac{d\bar{u}_2}{dx_2} = \frac{1}{l} \sqrt{\frac{p_0}{\rho}} e^{-\frac{K_2 x_2}{2}}$ となる。ここで J. Rotta の考えを用い混合距離 $l = l_0 + K x_2$ と置き x_2 のついで積分すると $\int_{x_0}^{x_2} d\bar{u}_2 = \sqrt{\frac{p_0}{\rho}} \int_{x_0}^{x_2} \frac{e^{-\frac{K_2 x_2}{2}}}{l_0 + K x_2} dx_2$ ここで l_0 は底面に極めて近い部分で、この点における l の値を l_0 とする。また K はカルマンの常数でその値は 0.47 である。この積分は $\bar{u}_{x_2} - \bar{u}_{x_0} = \frac{1}{K} \sqrt{\frac{p_0}{\rho}} e^{\frac{K_2 x_0}{2}} [\log \frac{l_0 + K x_2}{l_0 + K x_0} - \gamma K (x_2 - x_0)]$, $\gamma = \frac{K_2}{K}$, 底面における流速は 0 であるから $x_0 = 0$ で $\bar{u}_{x_0} = 0$ より $-\bar{u}_{x_0}$ の値を求め上式に代入すれば流速分布をよめる式 \bar{u}_{x_2} は $\bar{u}_{x_2} = \frac{u_*'}{K} e^{\frac{K_2 x_0}{2}} [\log (1 + \frac{K}{l_0} x_2) - \frac{K_2}{2} x_2]$ となる。また底面の曲率が 0 のときはすなわち平面のときは $\bar{u}_{x_2} = \frac{u_*'}{K} \log (1 + \frac{K}{l_0} x_2)$ となる。粗面水路において l_0 の代りに平均粒径の高さ βk_0 を用いると \bar{u}_{x_2} は $\bar{u}_{x_2} = \frac{1}{K} u_*' \log (1 + \frac{K}{\beta k_0} x_2) \dots (2)$ と表はされる。ここで β は l_0 と k_0 との関係を表す比例常数であつて実験的に定められるものと考えられる。実験においては (2) 式の関係が粗度の変化したときどのようになるかをしらべた。

4. 実験設備と方法 実験に用いた水路は長さ 8m, 中 36cm, 高さ 30cm の矩形断面の木製水路, および長さ 8m, 中 36cm, 高さ 20cm の放物断面とし、底面に粗面水路の剪断力および流速分布をしらべらるため種々の均一粒径 0.6~10mm の砂をワニスではりつけた。また流速測定はピトー管により、水面形状の測定には 1/10mm のポイントゲージを用いた。この実験は何れも水路の勾配を 1/1000 とし流量を 0.5~5.5 l/s まで種々に変化させた。また底面の粗度が流速分布に及ぼす影響をみるために粒径を度へて行ない、水位、水深および流速分布の測定は皆水路の中心にそつて行つた。

5. 実験結果と考察 三角形断面をいふような底面曲率が無限大であるときは、曲率を考慮しない場合も、考慮した場合も理論的に同じ結果になるが、放物断面水路において底面曲率の関係をみる。そこで底面曲率を考慮しない方法、底面曲率を考慮する方法、および等速度線に直角にとる方法の3つについて比較した。次表に放物形断面 $y = \frac{1}{2} x^2$ を用いられる水路に $Q = 3.0$ l/s の流量を流して之を結果より求めたものであるが、この表より明らかになるように、曲率を考慮したとき、最小の剪断力をよめ、流速分布に直角に測つた方法が最大になることがわかる。右の粒径 k_0 と流速分布との関係については現在実験中に行つて演習に述べる予定である。

剪断力の比較

砂の粒径 k_0 流量 Q	曲率を考慮しない場合		曲率を考慮した場合		流速分布を考慮した場合
	ET	PT	ET	PT	
$d = 0.6$ mm $Q = 3.16$ l/s	112.806	97.169	112.806	97.169	119.096
$d = 1.2$ mm $Q = 3.0$ l/s	122.026	104.530	122.026	104.530	130.174
$d = 2.5$ mm $Q = 2.9$ l/s	124.002	105.952	124.002	105.952	125.659

1) H. Lundgren and Sven G. Jansson; "Shear and velocity distribution in shallow channels" Proceeding of the American Society of Civil Engineers, Journal of the Hydraulics Division January 1964.
 2) Prandtl; "Neuere Ergebnisse der Turbulenzforschung" Zes. v. D. T. 77 (1933), Nr. 5.
 3) J. Rotta; "Das in Wandnaher gultige Geschwindigkeitgesetz turbulent  Stromungen," Ingenieur-Archiv, Band XVIII, 1950.